

建設省土木研究所 正員 猪熊 明  
建設省土木研究所 学生員 石村利明

### 1. まえがき

従来からトンネル土圧を解明するために落戸の実験(降下床実験)が行なわれている。しかし従来の実験は2次元的であるのが多く、側壁の摩擦の影響が心配される。この影響を除くため、およびトンネル切羽附近のトンネル土圧を調べるために、3次元的実験を行つたので報告する。

### 2. 実験方法

実験はあらかじめ設置した模型トンネルの上にトンネルカバーを設置し、その上から砂を盛る。トンネルカバーを引抜くとき、砂がトンネルカバーからトンネルまで落下することによつてトンネル撥削を近似する。砂は、粘着力  $C = 0.95 \text{ gf/cm}^2$ 、摩擦角  $\phi = 41^\circ$ 、単位体積重量  $\gamma = 1.75 \text{ gf/cm}^3$  である。今回は、ゆるみ量とゆるみ域がトンネル土圧にどんな影響を与えるかを調べるために、図1～図3に示すような断面形状の実験A～Fを行つた(表1を参照)。

トンネル土圧模型実験の相似則パラメーターは (1)  $H/D$ , (2)  $C/rL$ , (3)  $\tan\phi$ , (4)  $d/D$ , (5)  $T/rL$  ( $L=D$  または  $H$ ) の5個を考えられるが<sup>1)</sup> 今回特に  $d/D$  に注目した。ただし、 $H$  = 土かぶり、 $D$  = トンネル代表長さ、 $C, \phi$  = 前述、 $d$  = ゆるみ量、 $T$  = トンネル土圧、とする。

### 3. 実験結果および考察

実験結果を表1にまとめると、それを  $d/D$  について整理したものが図4である。実験C,Dについては突出部を全周に平均してゆるみ量  $d$  を算出した。相似則パラメーターでは、パラメーター(2), (3) が同じ地山材質を使つてゐるため同一であり、残る(1)と(4)がトンネル土圧パラメーター(5)に影響を与える因子となる。しかるに、実験によれば、パラメーター(1)が  $H/D > 2.0$  のとき、トンネル土圧にはほとんど影響を与えない。したがつて、Aを除いては、 $H/D = 1.79$  のときの実験値を用いて整理した。

#### 3. (1) Aのトンネル土圧が大きいことについて

Aのトンネル土圧が他と比較して大きいのは、次のようす理由が考えられる。オ1に工圧を測定する位置が、他と異なり、トンネルの天端部分だけであることにによる。オ2にトンネル側方地山の沈下が大きいことがあげられる。乾燥砂が沈下した場合、沈下部分の土圧は小さくなり、その周囲の工圧が小さくなることが報告されている。<sup>2)</sup> このことと先のオ1、オ2の理由を考え合わせると、Aの工圧は他と同じように計測していれば、図中矢印のようにより小さいものになると思われる。

#### 3. (2) B,C,Dの土圧の比較について

Bは標準タイプであるが、Bと比較してよりゆるみ量の大きいしづらい土圧を示す理由は不明である。ゆるみについては、その量だけで

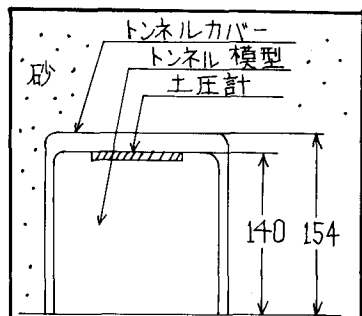


図1 トンネル横断面(実験A) mm

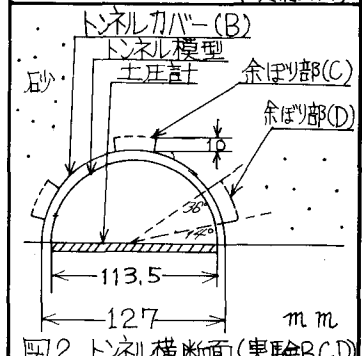


図2 トンネル横断面(実験B,C,D) mm

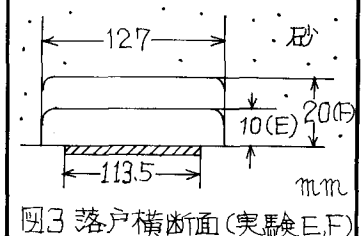


図3 落戸横断面(実験E,F) mm

くどこがゆるむかにもよるものと思われる。Dは側方部を大きくゆるませた場合である。Dの土圧はBよりも大であるが、Aほどではない。

### 3. (3) E, F の土圧の比較について

FがEより大きい土圧を示す原因は、Fの方が落差(ゆるみ量)が大きいためであるが、ゆるみ領域の側方への拡がりはE, Fでほとんど差はない。ちなみに、落差分の砂の重量を除いてやれば(E', F'に示す)、E, Fの差は認められない。乾燥砂の場合、ゆるみが大きくなれば、ゆるんだ砂の重量だけ土圧が増すようである。

### 3. (4) Gの土圧について、切羽付近のトンネルが受けける土圧について

Gは文献(3)による  $\phi = 34.3^\circ$  の乾燥砂の実験結果である。Gの土圧が小さいのは、Gは円筒形土槽内の中心に位置する円形落戸の実験であるため、落戸周辺の地山より3次元的な摩擦抵抗をうけるためであると思われる。ひろがえてトンネル切羽付近について考えてみると、切羽直近のトンネル支保部材はこうした3次元的效果が期待でき、そのトンネル土圧は後方のトンネル土圧により小さくなると予想される。今回の乾燥砂の実験でも切羽直近では土圧は小さくなっている。

### 3. (5) テルツヤギの土圧公式、土圧表

図4にテルツヤギの土圧公式から求めた土圧を示すが、 $\phi = 41^\circ$ では、実験結果より大幅に小さい。Gより推定すれば、A～Fの実験はゆるみ量が大きいため土圧が大きくていていると考えられる。テルツヤギの土荷重の表によれば、6等級の地山(乾燥砂では6等級に相当すると考えられる)では、 $1.1 \times (a+h) \times 0.5$ の土荷重がトンネルに作用するとある(ただし、トンネルの幅及び高さ)。図4からすれば、これはかなりゆるんだ状態の土荷重をあらわしていると考えられる。また実験結果よりすれば、hよりaの方がより重要な影響を与えると思われる。上式より、 $1.1 \times 2.8 \times 0.5$ の値の方が良く、土荷重と一致する。

### 3. (6). 現場への適用

実際のトンネルの天端の泡下量をdとして、ゆるみを求めるとき図4のようになる。GにFると乾燥砂の場合、最小土圧となるのは  $d/D$  が約1%のときで、両トンネルとも良い施工がされたと看えられる。しかし、両方ともNATMであるから、他の工法の場合はも、とゆるみがあると思われる。いずれにしても、土圧公式、土圧表を現場に適用するのに、 $d/D$  が1%前後であるか否かを考慮する必要があることがわかる。

- 文献)
- 1) 猪熊,石村;トンネル切羽付近の応力に及ぼす模型実験;岩盤ソシンド(1980)
  - 2) 村山,松園;砂質地中のトンネル壁に働く基礎的的研究;土木論文集 18号(1971)
  - 3) 小野,真典;乾燥砂層における垂直土圧;土木会誌 24巻5号(1938)

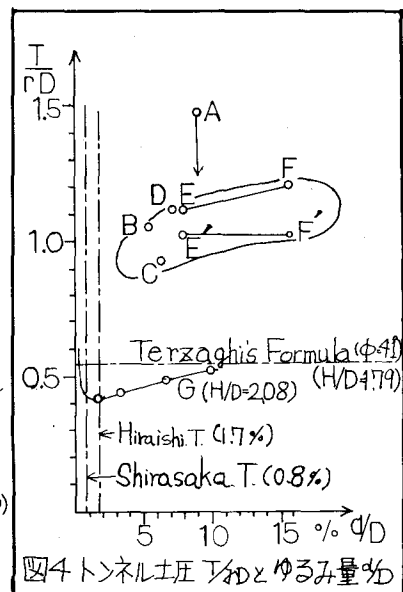


表-1 実験結果。(H/D, d/D, T/γDには掘削時のトンネル径を用いた)

|   | 形状 | H    | D    | H/D  | d  | d/D  | T     | rH    | rD    | T/rH | T/rD |
|---|----|------|------|------|--|------|-------|-------|-------|------|------|
| A | □  | 19.6 | 15.4 | 1.27 | 14   | 9.1  | 39.9  | 34.3  | 26.95 | 1.16 | 1.48 |
| B | 凸  | 22.7 | 12.7 | 1.79 | 6.75   | 5.3  | 23.31 | 39.93 | 22.22 | 0.59 | 1.05 |
| C | 凹  | 22.7 | 12.7 | 1.79 | ( $16.75 \times 2.2 + 6.75 \times 1.58$ ) / 180 = 9.47 | 6.3  | 20.77 | 39.93 | 22.22 | 0.52 | 0.93 |
| D | 凸凹 | 22.7 | 12.7 | 1.79 | ( $16.75 \times 4.4 + 6.75 \times 1.33$ ) / 180 = 9.19 | 7.2  | 24.90 | 39.93 | 22.22 | 0.63 | 1.12 |
| E | 凸  | 22.7 | 12.7 | 1.79 | 10   | 7.9  | 24.79 | 39.93 | 22.22 | 0.62 | 1.12 |
| F | 凹  | 22.7 | 12.7 | 1.79 | 20   | 15.7 | 26.92 | 39.91 | 22.22 | 0.68 | 1.21 |